

Přírodovědecká fakulta Univerzity Karlovy v Praze
Katedra fyziologie
a
Fyziologický ústav AV ČR, v.v.i.



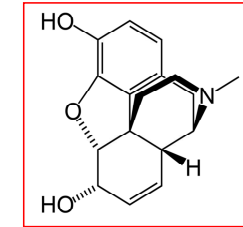
Morfiem navozené změny membránových a solubilních bílkovin frontální mozkové kůry potkana

Mgr. Hana Ujčíková
Doktorandská dizertační práce
2014

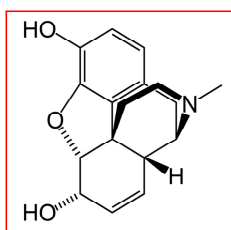
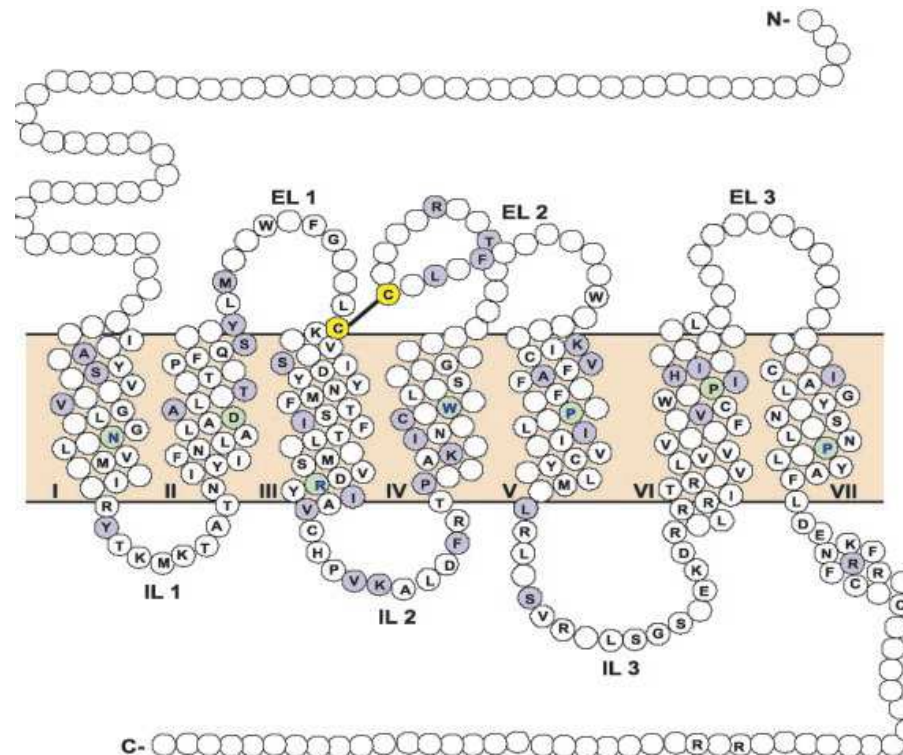
Školitel: **Doc. RNDr. Petr Svoboda, DrSc.**
FYZIOLOGICKÝ ÚSTAV AV ČR
Biochemie membránových receptorů

Opioidy

- endogenní opioidní peptidy
- opiové alkaloidy
- polosyntetické opioidy
- syntetické opioidy

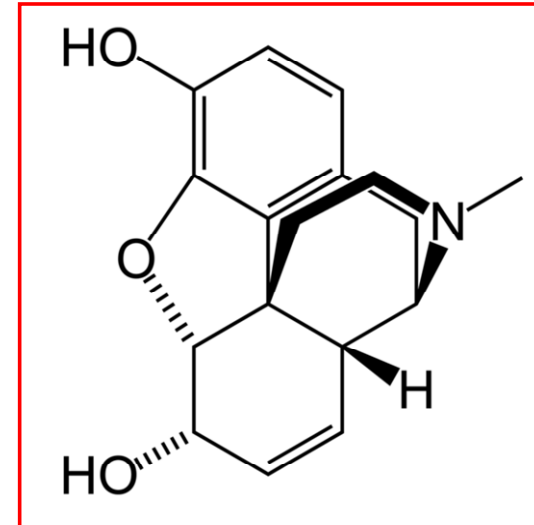


Opioidní receptory – MOR, DOR, KOR, NOP-OR

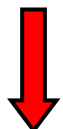


Waldhoer a kol., 2004. *Annu Rev Biochem* **73**, 953-990.

Opiové alkaloidy → morfium



Desetidenní expozice potkanů samců kmene **Wistar**:

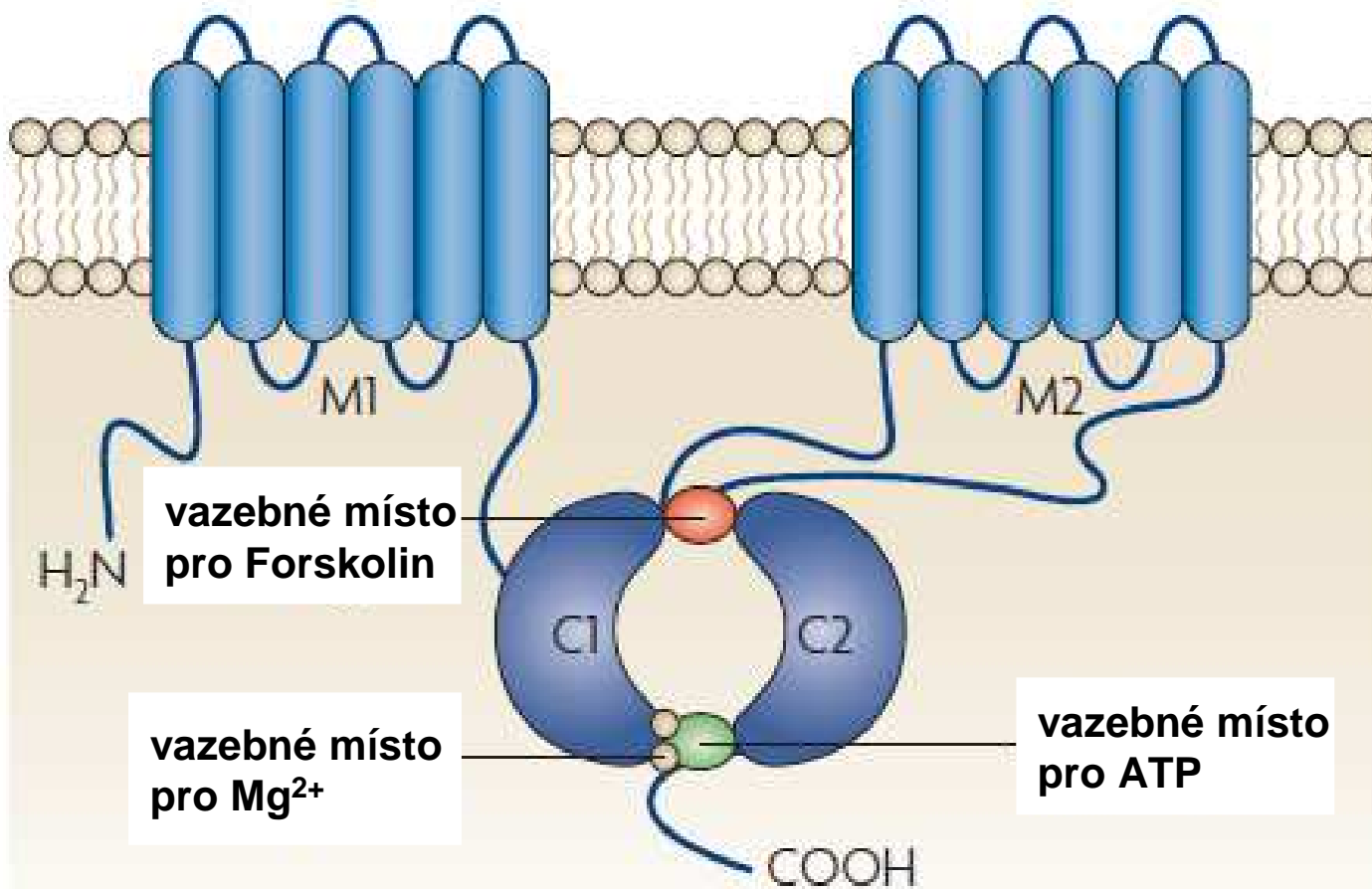


- 10 mg/kg (den 1. a 2.)
- 15 mg/kg (den 3. a 4.)
- 20 mg/kg (den 5. a 6.)
- 30 mg/kg (den 7. a 8.)
- 40 mg/kg (den 9.)
- 50 mg/kg (den 10.)



kontroly: 0,9% NaCl

Adenylylcykláza (AC)



Převzato a upraveno podle Pierre a kol., 2009, *Nat Rev Drug Discov* **8**, 321-335.

Regulace AC

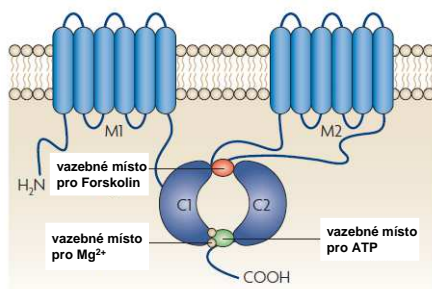
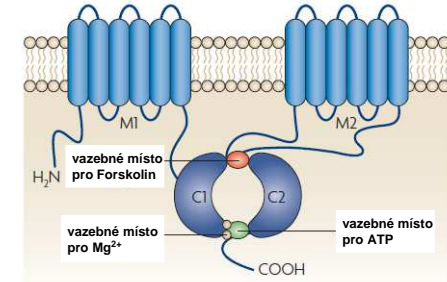
AC I, AC III, AC VIII

AC II, AC IV, AC VII

AC V, AC VI

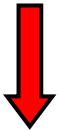
AC IX

solubilní AC



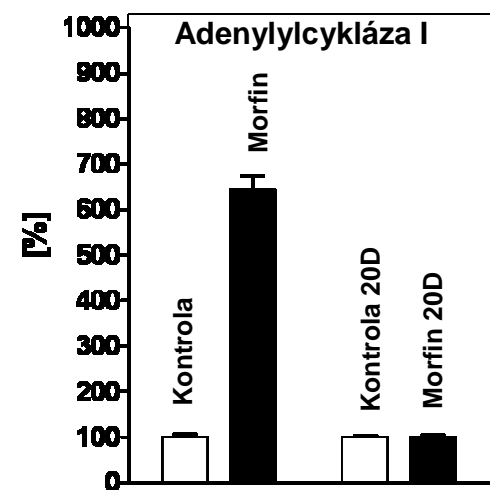
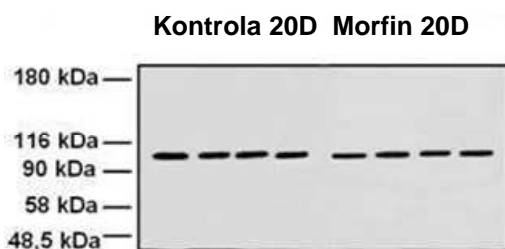
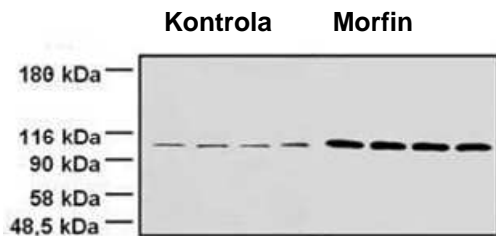
Cíle dizertační práce:

- stanovení obsahu **všech izoforem adenylylcyklázy (AC I-IX)** ve frakcích PM (morfium/kontrola, usmrzení **24 hodin** po aplikaci poslední dávky morfia)
- provedení stejné analýzy ve vzorcích PM izolovaných z potkanů, kteří byli vystaveni stejně expozici morfia, ale **byli usmrzeni 20 dní po podání poslední dávky**
- stanovení obsahu **všech hlavních tříd G proteinů a Na, K-ATPázy**

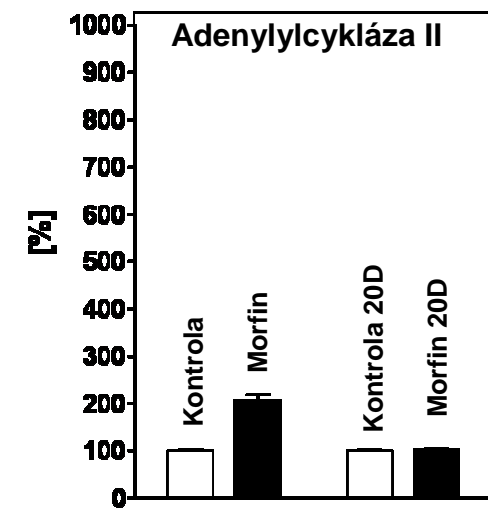
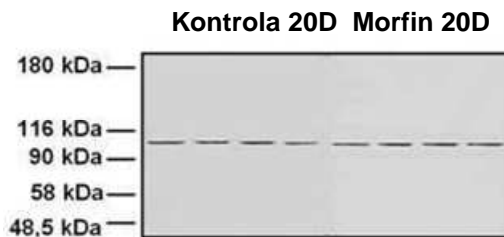
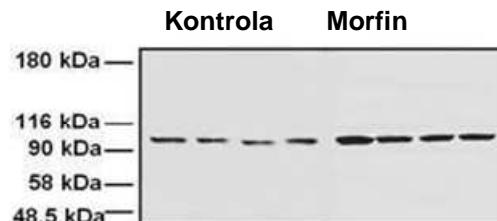


- detekce **kvantitativních změn** indukovaných morfiem ve frakcích **PNS a PM**
- **proteomická analýza** frakcí **PNS a PM**
- detekce a **proteomická analýza G β** podjednotek

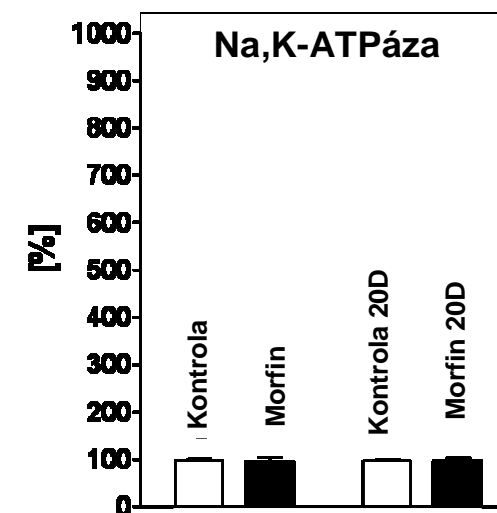
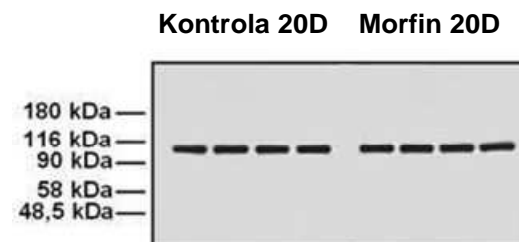
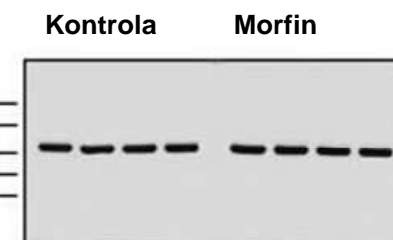
Adenylylcycláza I



Adenylylcycláza II

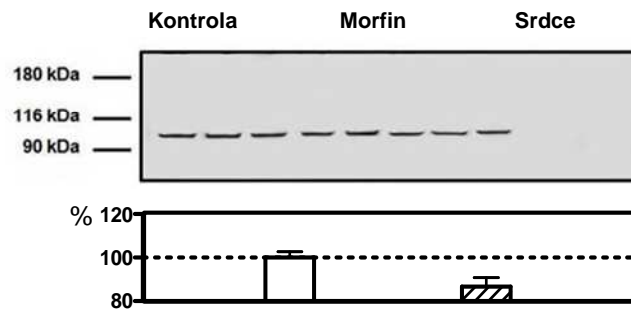


Na, K-ATPáza



Ujcikova, H., Dlouha, K., Roubalova, L., Vosahlikova, M., Kagan, D., Svoboda, P. (2011). Up-regulation of adenylylcyclases I and II induced by long-term adaptation of rats to morphine fades away 20 days after morphine withdrawal. *BBA General Subjects* 1810: 1220 -1229.

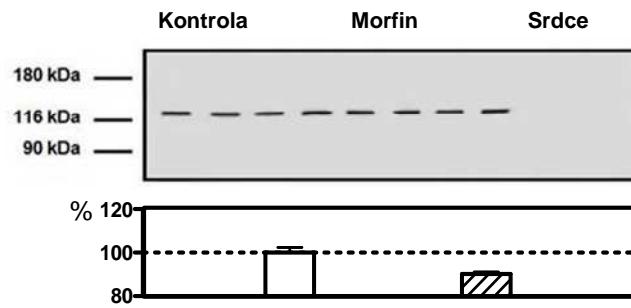
Adenylylcycláza III



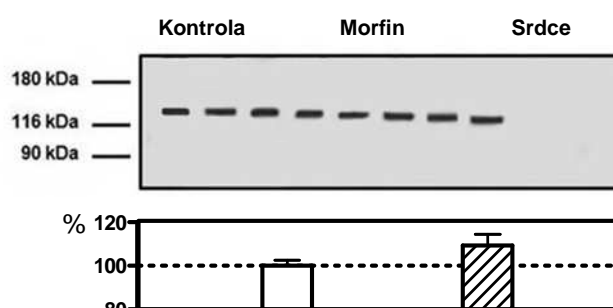
Adenylylcycláza VII



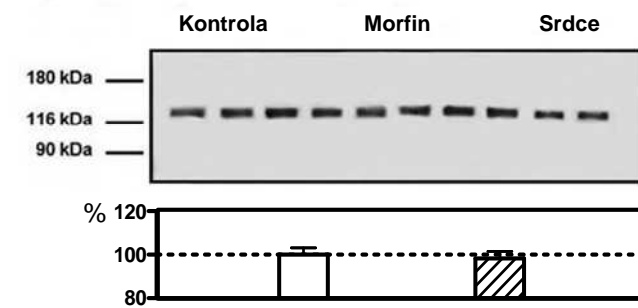
Adenylylcycláza IV



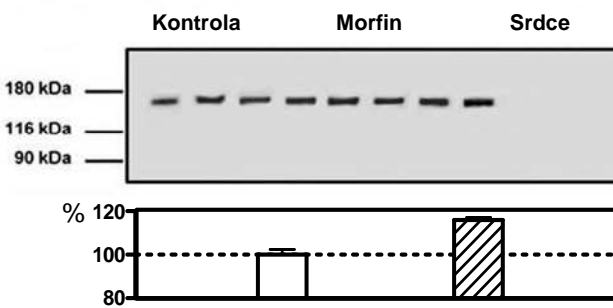
Adenylylcycláza VIII



Adenylylcycláza V/VI

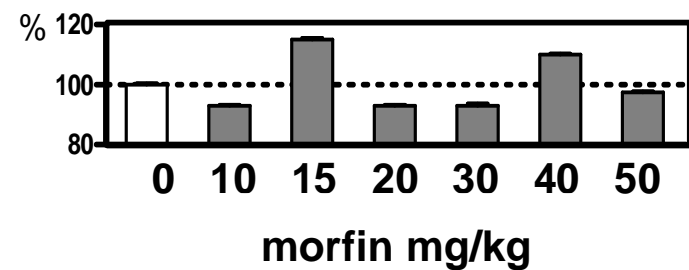
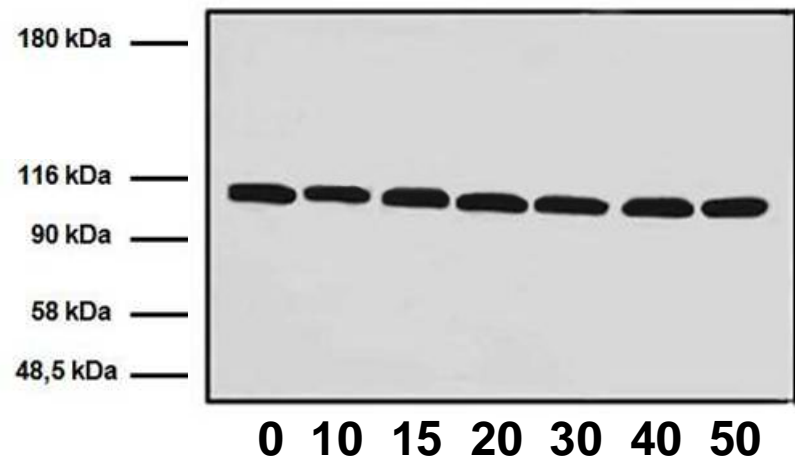


Adenylylcycláza IX

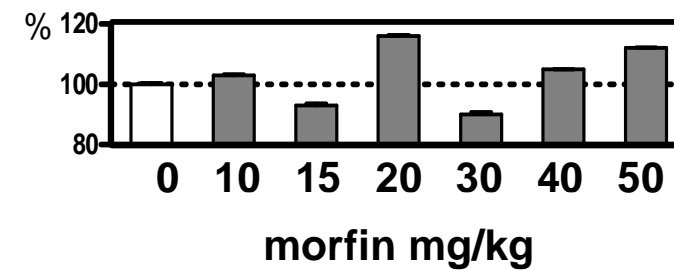
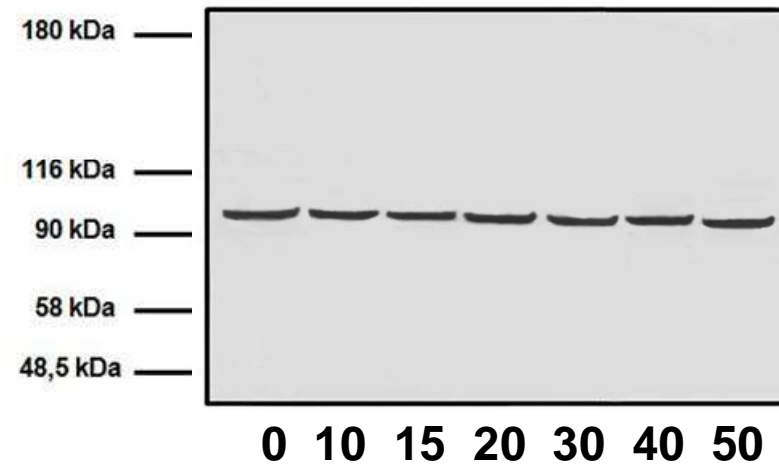


Ujcikova, H., Dlouha, K., Roubalova, L., Vosahlikova, M., Kagan, D., Svoboda, P. (2011). Up-regulation of adenylylcyclases I and II induced by long-term adaptation of rats to morphine fades away 20 days after morphine withdrawal. *BBA General Subjects* 1810: 1220 -1229.

Adenylylcycláza I

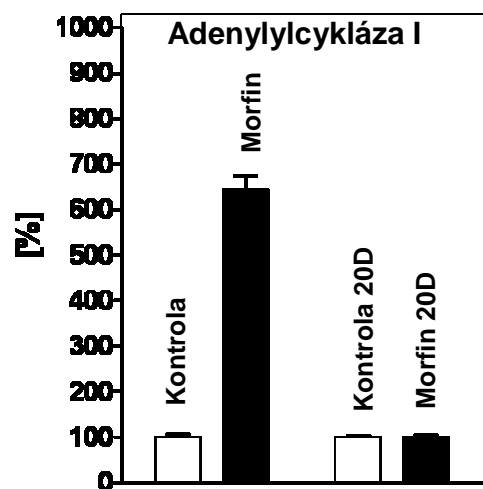
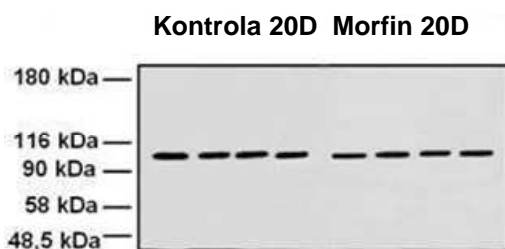
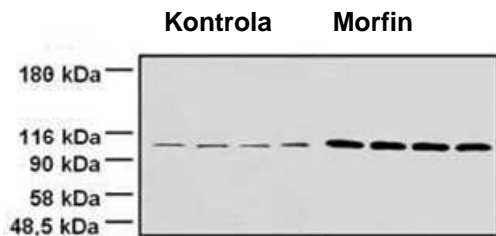


Adenylylcycláza II

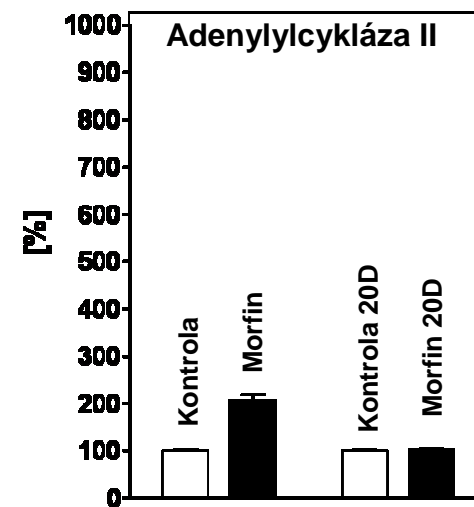
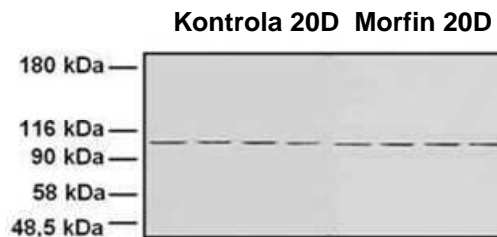
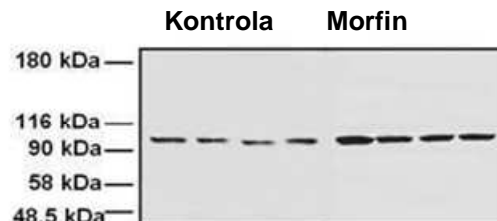


Ujčíková, H., Dlouha, K., Roubalová, L., Vosáhliková, M., Kagan, D., Svoboda, P. (2011). Up-regulation of adenylylcyclases I and II induced by long-term adaptation of rats to morphine fades away 20 days after morphine withdrawal. *BBA General Subjects* 1810: 1220 -1229.

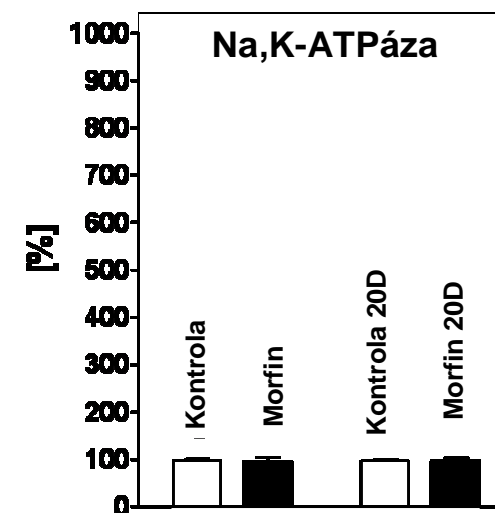
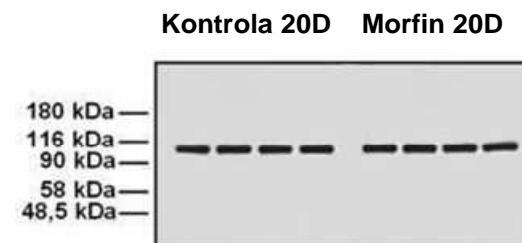
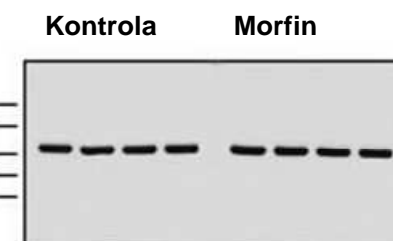
Adenylylcycláza I



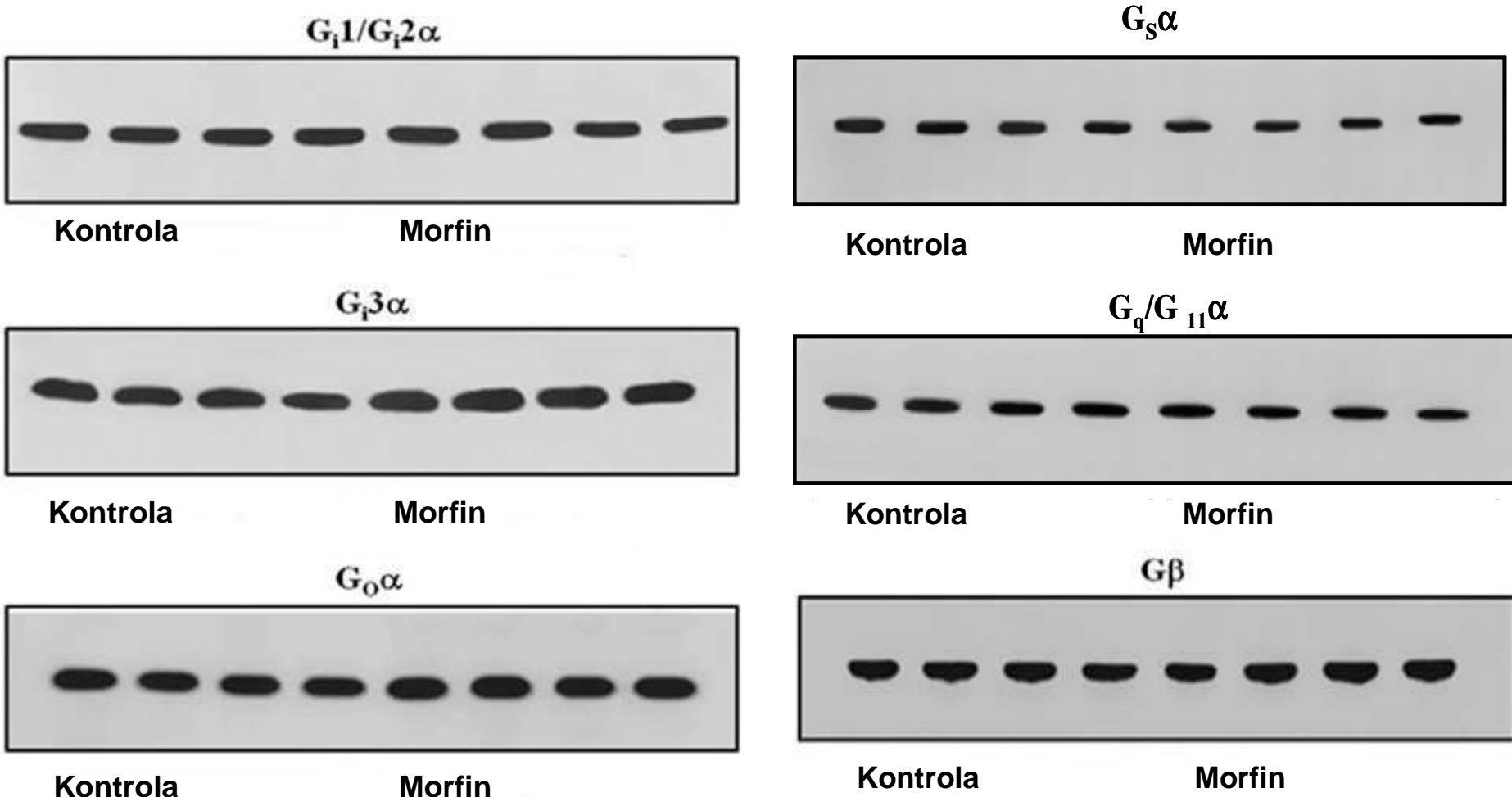
Adenylylcycláza II



Na, K-ATPáza

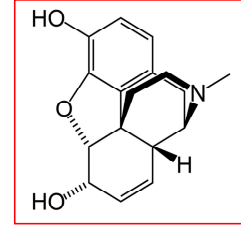


Ujcikova, H., Dlouha, K., Roubalova, L., Vosahlikova, M., Kagan, D., Svoboda, P. (2011). Up-regulation of adenylylcyclases I and II induced by long-term adaptation of rats to morphine fades away 20 days after morphine withdrawal. *BBA General Subjects* 1810: 1220 -1229.

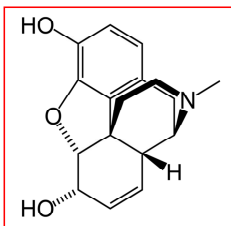


Ujcičkova, H., Dlouha, K., Roubalová, L., Vosahliková, M., Kagan, D., Svoboda, P. (2011). Up-regulation of adenylylcyclases I and II induced by long-term adaptation of rats to morphine fades away 20 days after morphine withdrawal. *BBA General Subjects* **1810: 1220 -1229.**

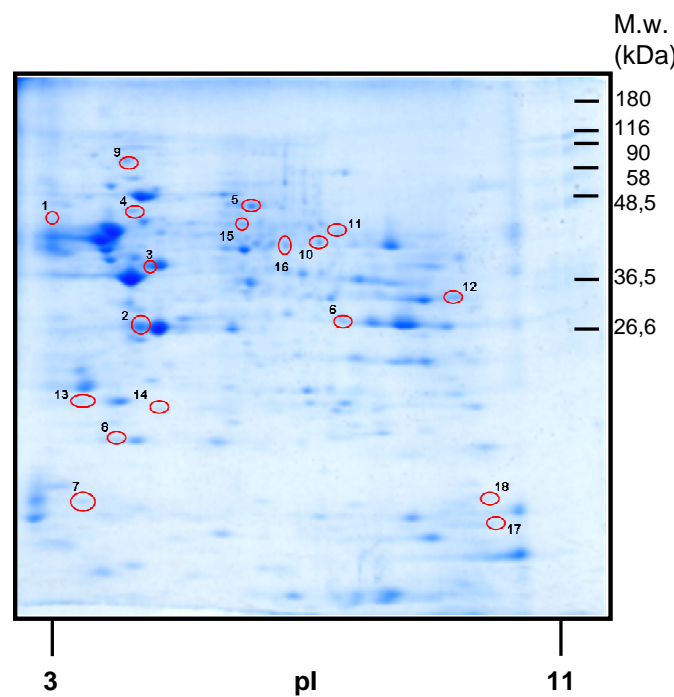
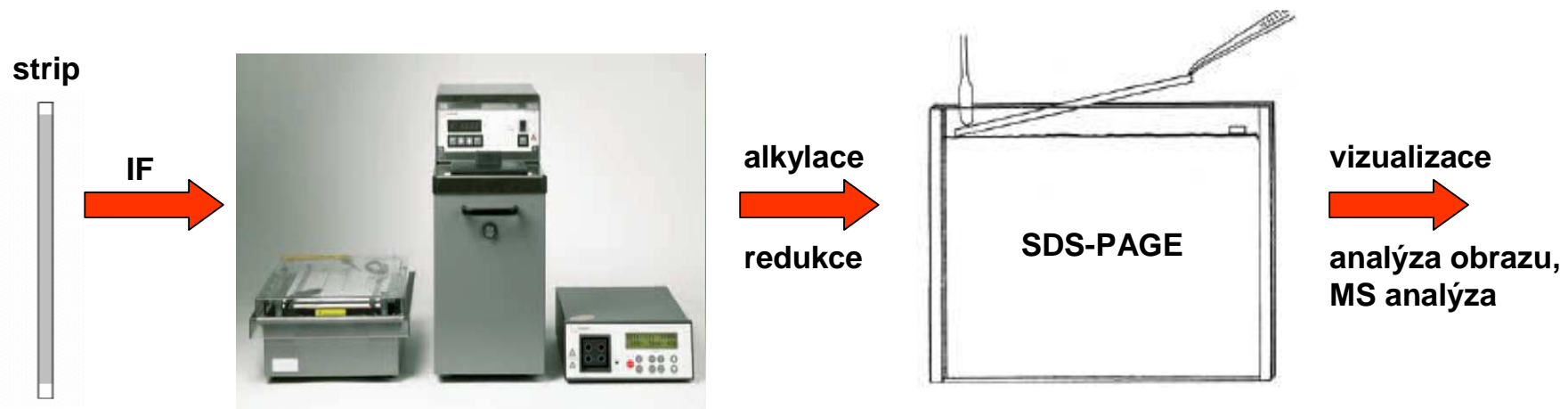
Shrnutí první části dizertační práce:



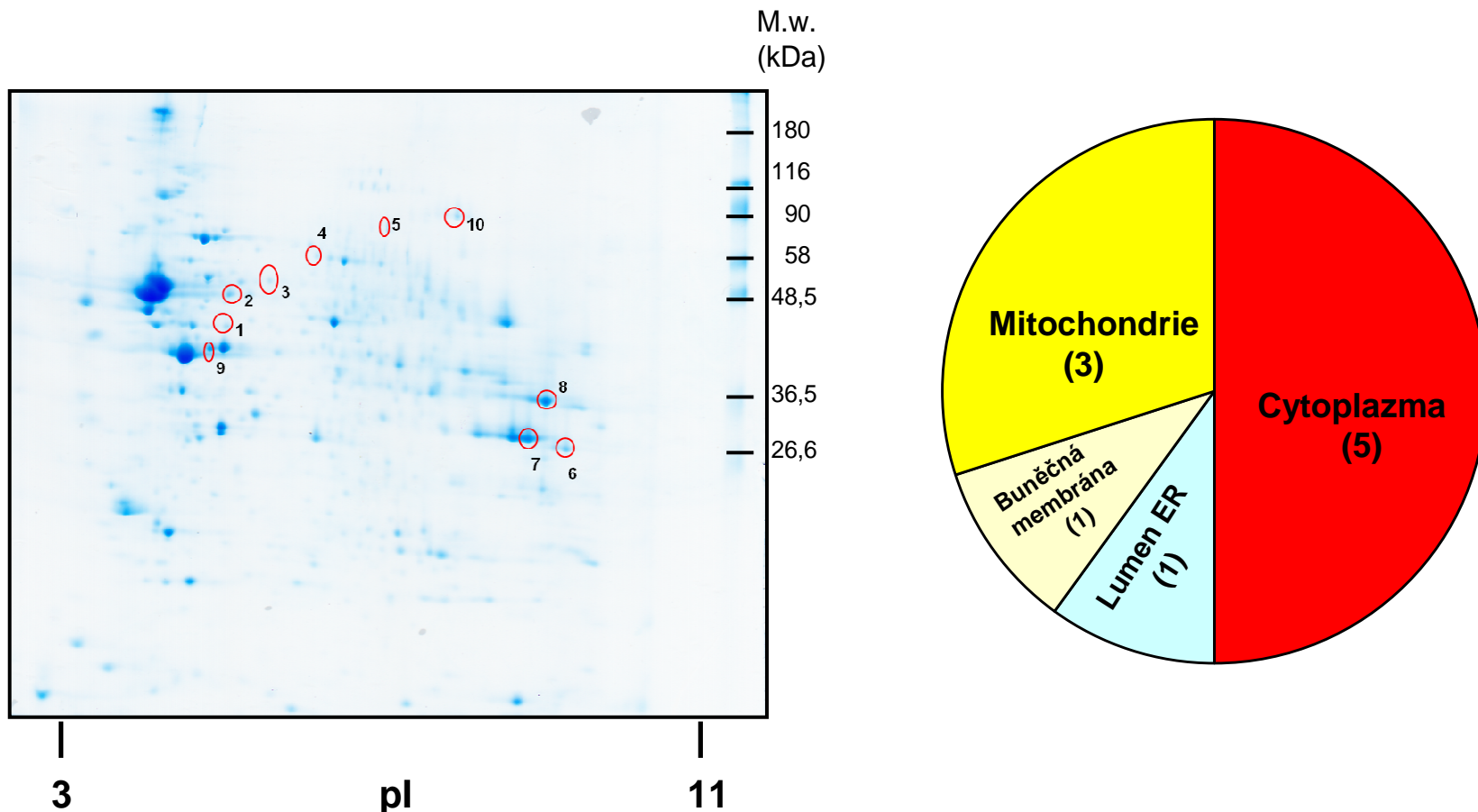
- byl prokázán **specifický** vzestup **AC I** (8x) a **AC II** (2,5x) ve vzorcích PM izolovaných z potkanů usmrčených **24 hodin** po aplikaci poslední dávky morfia (10-50 mg/kg, 10 dní)
- hladina obsahu **AC III-IX se nezměnila**
- krátkodobá **expozice** zvířat morfiu **neměla vliv** na změnu AC I a AC II
- specifický **vzestup AC I a AC II** se projevil jako **plně reverzibilní**
- hladina obsahu **všech hlavních tříd G proteinů a Na, K-ATPázy se nezměnila**



2D elektroforéza



Identifikace proteinů PNS – analýza pomocí *MALDI-TOF MS/MS*



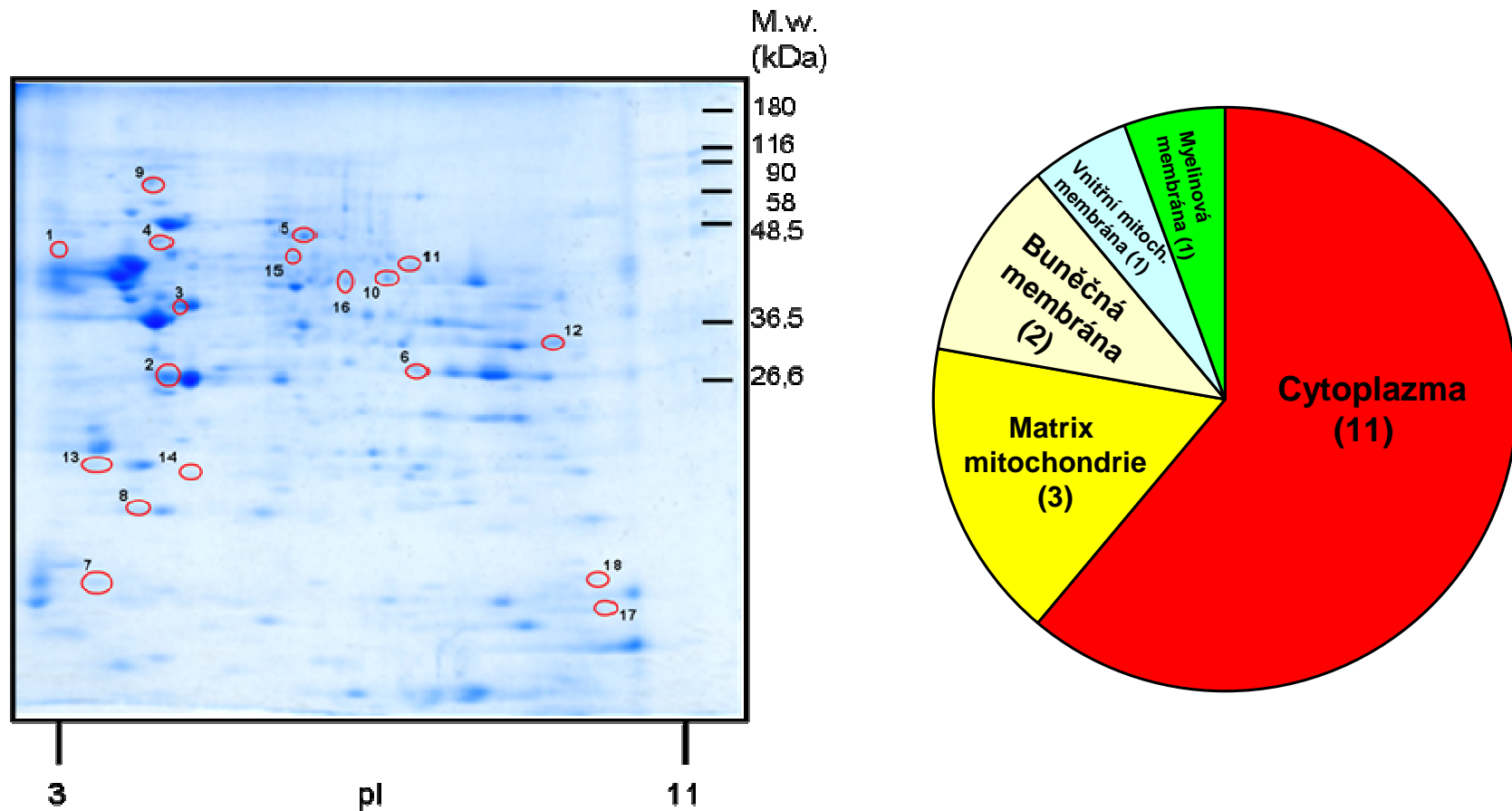
Ujcikova, H., Eckhardt, A., Kagan, D., Roubalova, L., Svoboda, P. 2014. Proteomic analysis of post-nuclear supernatant fraction and Percoll-purified membranes prepared from brain cortex of rats exposed to increasing doses of morphine. *Proteome Sci* 12:11.

Identifikace proteinů PNS – analýza pomocí *MALDI-TOF MS/MS*

Spot	Označení proteinu	Název proteinu	Násobek
			změny
1	gi 148747414	guanin deamináza	↑2,5
2	gi 17105370	V-ATPáza, mozková izoforma	↑2,6
3	gi 1352384	protein disulfid-izomeráza A3	↑3,4
4	gi 40254595	dihydropyrimidinázový příbuzný protein 2	↑3,6
5	gi 149054470	<i>N</i> -ethylmaleimid senzitivní fúzní protein, izoforma CRA_a	↑2,0
6	gi 42476181	malát dehydrogenáza, mitochondriální prekurzor	↑1,4
7	gi 62653546	glyceraldehyd-3-fosfát dehydrogenáza	↑1,6
8	gi 202837	aldoláza A	↑1,3
9	gi 31542401	kreatin kináza typ-B	↓0,86
10	gi 40538860	akonitát hydratáza, mitochondriální prekurzor	↑1,26

Ujcikova, H., Eckhardt, A., Kagan, D., Roubalova, L., Svoboda, P. 2014. Proteomic analysis of post-nuclear supernatant fraction and Percoll-purified membranes prepared from brain cortex of rats exposed to increasing doses of morphine. *Proteome Sci* 12:11.

Identifikace proteinů PM - analýza pomocí LC-MS/MS



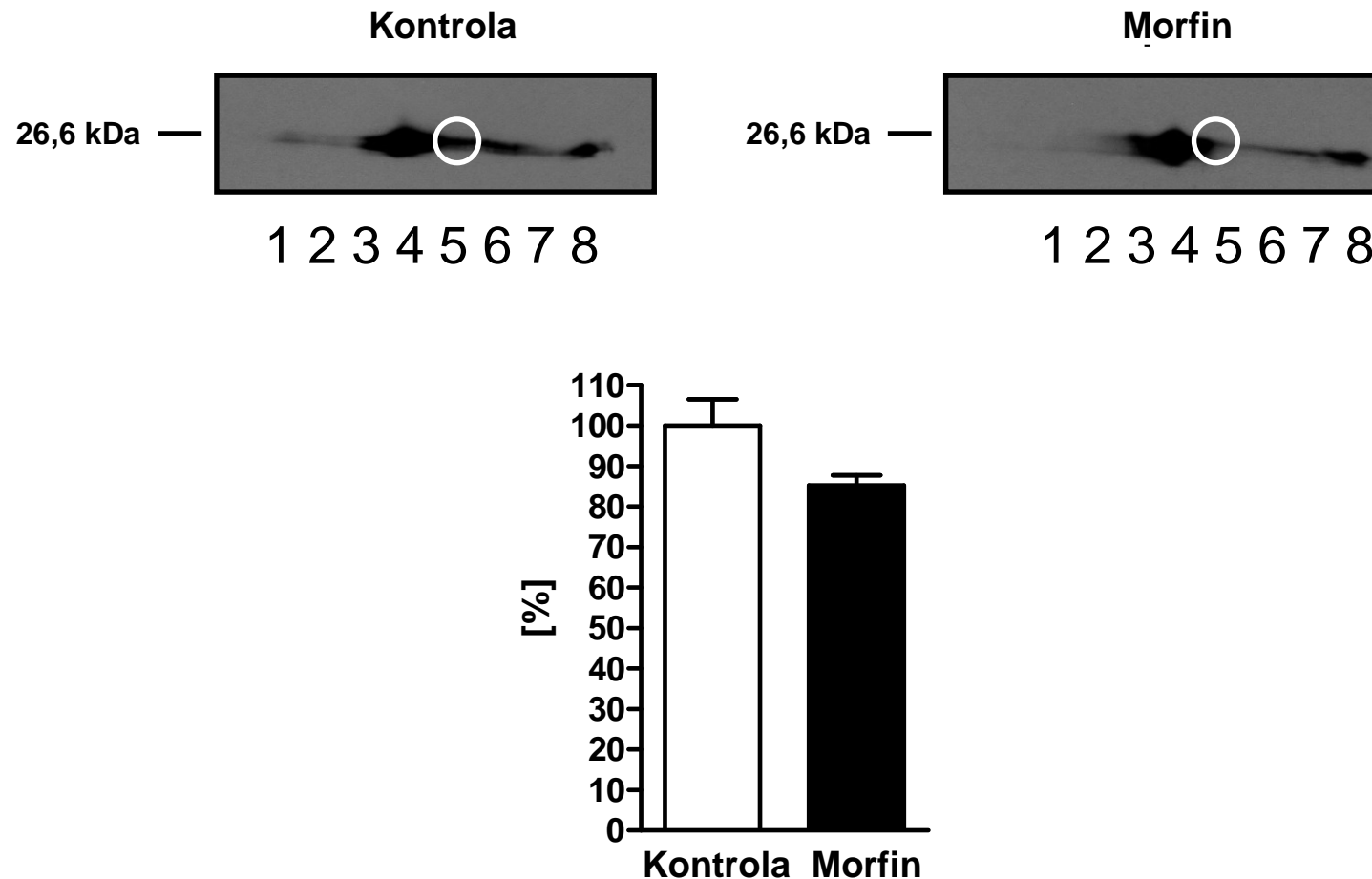
Ujcikova, H., Eckhardt, A., Kagan, D., Roubalova, L., Svoboda, P. 2014. Proteomic analysis of post-nuclear supernatant fraction and Percoll-purified membranes prepared from brain cortex of rats exposed to increasing doses of morphine. *Proteome Sci* 12:11.

Identifikace proteinů PM - analýza pomocí LC-MS/MS

Spot	Označení proteinu	Název proteinu	Násobek změny
1	BASP1_RAT	membránový neuronální signální protein 1	↓2,1
2	GBB1_RAT	G beta podjednotka-1	↓2,0
3	KCRB_RAT	kreatin kináza typ-B	↓2,6
4	AINX_RAT	alfa-internexin	↑5,2
5	DPYL2_RAT	dihydropyrimidinázový příbuzný protein 2	↑4,9
6	SIRT2_RAT	NAD-dependentní deacetyláza sirtuin-2	↑2,5
7	SYUA_RAT	alfa-synuklein	↑2,0
8	PRDX2_RAT	peroxiredoxin-2	↑2,2
9	TERA_RAT	tranzitorní ATPáza endoplazmatického retikula	↑2,1
10	DHE3_RAT	glutamát dehydrogenáza 1, mitochondriální	↑2,7
11	SCOT1_RAT	sukcinyl-CoA:3-ketoacyl-koenzym A transferáza 1, mitochondriální	↑2,2
12	AATM_RAT	aspartát aminotransferáza, mitochondriální	↓2,2
13	UCHL1_RAT	ubikvitin karboxyl-terminální hydroláza L1	↓2,0
14	PHB_RAT	prohibitin	↑2,2
15	COR1A_RAT	koronin-1A	↓5,4
16	SEP11_RAT	septin-11	↑2,2
17	MBP_RAT	základní myelinový protein S	↓2,5
18	RL12_RAT	60S ribozomální protein L12	↑2,7

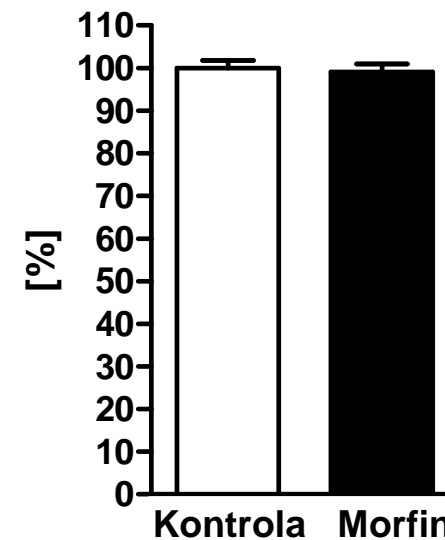
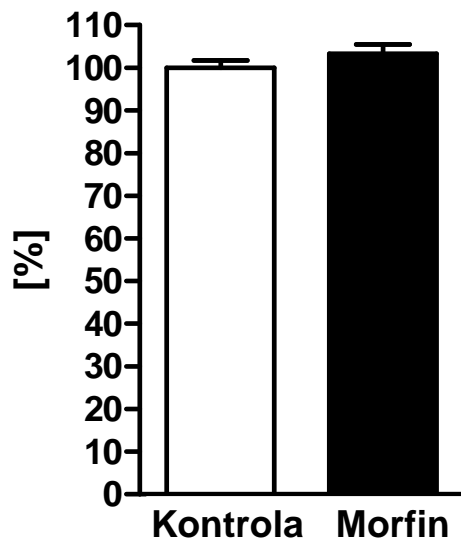
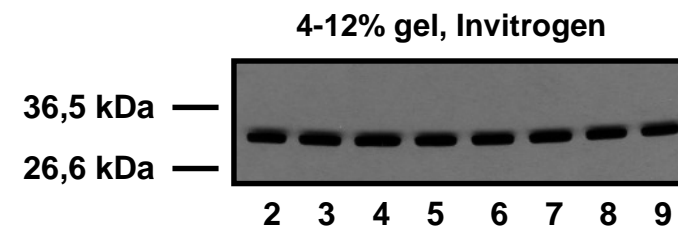
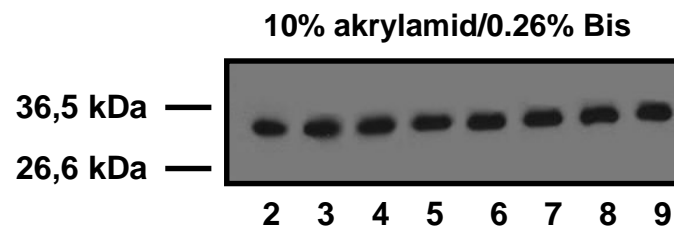
Ujcikova, H., Eckhardt, A., Kagan, D., Roubalova, L., Svoboda, P. 2014. Proteomic analysis of post-nuclear supernatant fraction and Percoll-purified membranes prepared from brain cortex of rats exposed to increasing doses of morphine. *Proteome Sci* 12:11.

Gβ podjednotka

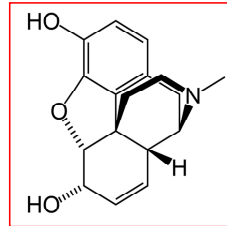


Ujcikova, H., Eckhardt, A., Kagan, D., Roubalova, L., Svoboda, P. 2014. Proteomic analysis of post-nuclear supernatant fraction and Percoll-purified membranes prepared from brain cortex of rats exposed to increasing doses of morphine. *Proteome Sci* **12**:11.

G β podjednotka

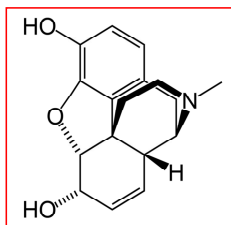


Ujcikova, H., Eckhardt, A., Kagan, D., Roubalova, L., Svoboda, P. 2014. Proteomic analysis of post-nuclear supernatant fraction and Percoll-purified membranes prepared from brain cortex of rats exposed to increasing doses of morphine. *Proteome Sci* **12**:11.

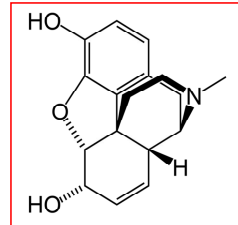


Shrnutí druhé části dizertační práce:

- analýza **10 proteinů PNS** identifikovala vzestup bílkovin funkčně spojených především s **oxidativním stresem, apoptózou a změnou energetického metabolismu**
- analýza **18 proteinů frakcí PM** identifikovala jediného zástupce **GPCR-signálních kaskád - Gβ podjednotku (↓2x)**
- byla stanovena specifická aktivní část **Gβ**, která byla změněna vlivem morfia, celkový signál klesl pouze nepatrně (1,2x)

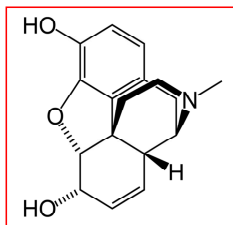


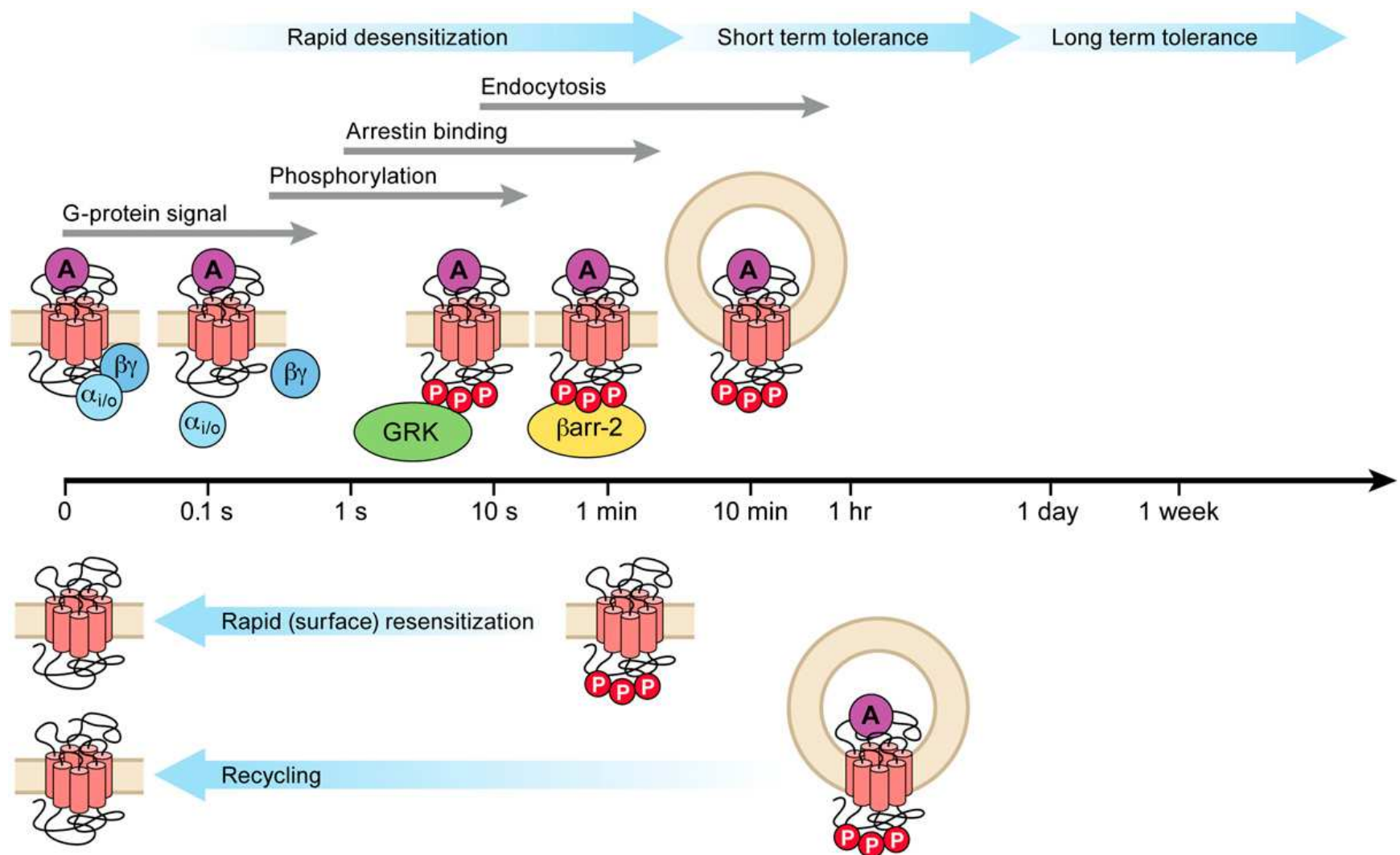
Děkuji Vám za pozornost.



10 mg/kg (den 1. a 2.)
20 mg/kg (den 3. a 4.)
40 mg/kg (den 5. a 6.)
80 mg/kg (den 7. a 8.)
160 mg/kg (den 9. a 10.)
320 mg/kg (den 11. a 12.)

Převzato podle Sim a kol., 1996, *J Neurosci* **16**, 2684-2692.

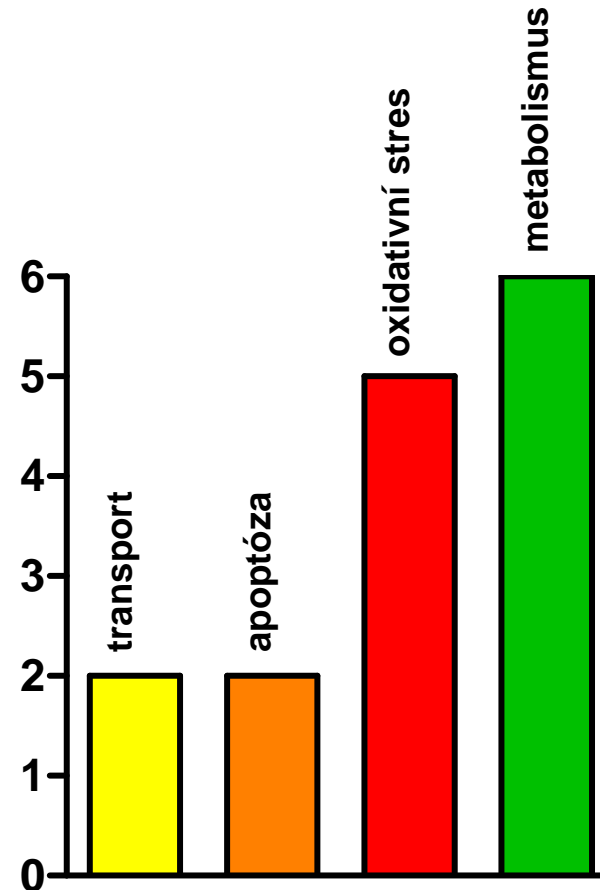




Převzato a upraveno podle Williams a kol., 2013, *Pharmacol Rev* **65**, 223-254.

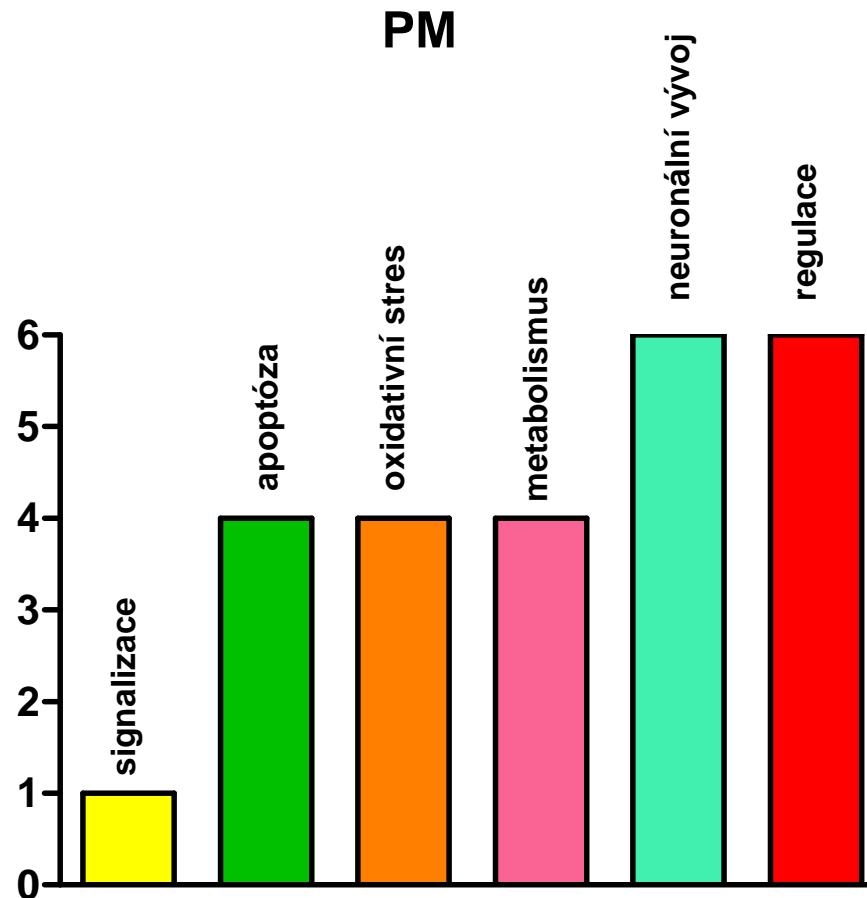
Identifikace proteinů PNS – analýza pomocí *MALDI-TOF MS/MS*

PNS



Ujcikova, H., Eckhardt, A., Kagan, D., Roubalova, L., Svoboda, P. 2014. Proteomic analysis of post-nuclear supernatant fraction and Percoll-purified membranes prepared from brain cortex of rats exposed to increasing doses of morphine. *Proteome Sci* 12:11.

Identifikace proteinů PM - analýza pomocí LC-MS/MS



Ujcikova, H., Eckhardt, A., Kagan, D., Roubalova, L., Svoboda, P. 2014. Proteomic analysis of post-nuclear supernatant fraction and Percoll-purified membranes prepared from brain cortex of rats exposed to increasing doses of morphine. *Proteome Sci* **12**:11.

Identifikace G β podjednotek pomocí LC MS/MS

Spot	Označení proteinu	Název proteinu	Skóre proteinu	Počet přiřaz. peptidů	[%] Pokrytí sekvence		MH ^a (kDa)	pI ^b
3	GBB1_RAT	G beta podjednotka-1	184,3	6	16,8		37,4	5,6
4	GBB1_RAT	G beta podjednotka-1	471,0	12	32,9		37,4	5,6
4	GBB2_RAT	G beta podjednotka-2	413,9	10	14,4		37,3	5,6
5	GBB1_RAT	G beta podjednotka-1	199,1	5	14,1		37,4	5,6
5	GBB2_RAT	G beta podjednotka-2	188,7	5	3,50		37,3	5,6

Ujcikova, H., Eckhardt, A., Kagan, D., Roubalova, L., Svoboda, P. 2014. Proteomic analysis of post-nuclear supernatant fraction and Percoll-purified membranes prepared from brain cortex of rats exposed to increasing doses of morphine. *Proteome Sci* 12:11.